

УДК 532.59: 532.595

## РАСПАД НАЧАЛЬНОГО РАЗРЫВА ГЛУБИНЫ ВОДЫ В КАНАЛЕ ОГРАНИЧЕННОЙ ДЛИНЫ. ЭКСПЕРИМЕНТ

В. И. Букреев

Институт гидродинамики им. М. А. Лаврентьева СО РАН, 630090 Новосибирск  
E-mail: bukreev@hydro.nsc.ru

Приведены результаты экспериментального исследования волновых движений воды в канале ограниченной длины, возникающих после быстрого удаления щита, создающего начальную разность глубин верхнего и нижнего бьефов. Показано, что в спектрах частот колебаний глубины выделяются собственные частоты, характерные для сейши. Приведены примеры прямых и отраженных волн, а также данные об изменении глубины воды после отражения волны типа бора от вертикальной стенки.

**Ключевые слова:** начальный разрыв глубины воды, движущийся гидравлический прыжок, суперпозиция набегающих и отраженных волн, сейшевые колебания, толчея волн.

В случае бесконечно длинного канала гидродинамический аналог задачи газовой динамики о распаде начального разрыва [1] называется задачей о разрушении плотины [2, 3]. В классическом решении этой задачи на основе первого приближения теории мелкой воды [2, 3] содержатся только два заданных параметра: отношение  $h_-^0 = h_- / h_+$  начальной глубины верхнего бьефа  $h_-$  к начальной глубине нижнего бьефа  $h_+ \leq h_-$  и ускорение свободного падения  $g$ . При небольших расстояниях от плотины (до значений  $500(h_- - h_+)$ ) классическое решение хорошо согласуется с экспериментальными данными [4, 5], но это решение не описывает ондуляции. При больших расстояниях существенное влияние на реальные процессы, происходящие при разрушении плотины, оказывают потери энергии вследствие вязкости жидкости, шероховатости стенок канала и обрушения волн. В классическом решении потери энергии не учитываются.

В случае канала ограниченной длины существенную роль играют еще два геометрических параметра: относительная длина канала  $l^0 = l/h_+$  и расстояние  $x_0^0 = x_0/h_+$  от одной из торцевых стенок канала до щита, создающего начальную разность глубин  $h_- - h_+$  (рис. 1). При этом в канале имеют место такие явления, как заплеск воды на стенку [6, 7], плескание [8], толчея волн [9, 10] и сейшевые колебания [11, 12]. Каждое из этих явлений служит объектом специальных исследований.

В настоящей работе основное внимание уделяется изучению сейшевых колебаний. Сейшами называются стоячие волны, образующиеся при суперпозиции линейных гармонических волн в канале ограниченной длины [13]. Согласно линейной теории волновое число  $k_n$  и частота колебаний  $f_n$  для сейши с  $n$  узлами определяются формулами [13]

$$k_n = \frac{n\pi}{l}, \quad f_n = \frac{1}{2\pi} [k_n g \operatorname{th}(k_n h_0)]^{1/2},$$

где  $n = 1, 2, 3, \dots$  — число узлов сейши;  $h_0 = \text{const}$  — средняя глубина. Термин “сейшевые колебания” [12] используется при описании таких гравитационных волн, в которых

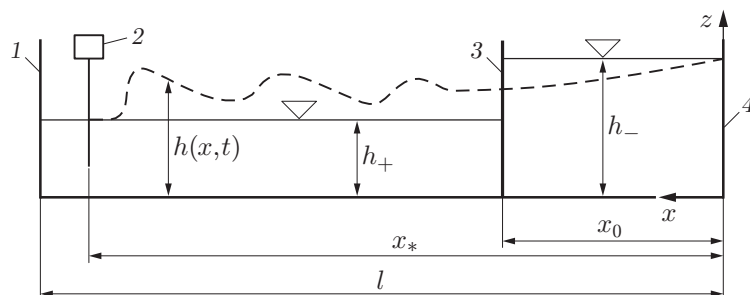


Рис. 1. Схема эксперимента:

1 — левая стенка, 2 — волномер, 3 — щит, 4 — правая стенка

можно выделить частоты колебаний, характерные для сейши, как правило многоузловой. В настоящей работе такие частоты обнаружены при суперпозиции нелинейных волн типа бора, образующихся, в частности, при разрушении плотины.

Бор образуется также при землетрясении, оползне и быстрой остановке контейнера, частично заполненного жидкостью. В этих случаях бор является свободной волной, поскольку после быстрой генерации его эволюция протекает без дополнительной подпитки энергией. В классической задаче о разрушении плотины масса и энергия бора постоянно пополняются, поэтому он относится к числу вынужденных волн. Существенная особенность рассматриваемой задачи о распространении бора в канале ограниченной длины состоит в том, что в течение достаточно длительного времени бор является вынужденным, а после выхода средней глубины в канале на постоянное значение бор становится свободным.

Существует пять форм гидравлического прыжка и бора [14]. Для четырех из них характерно наличие ондуляций — колебаний уровня свободной поверхности за передним фронтом бора. Параметры, определяющие различные формы бора, зависят от того, является ли бор свободным или вынужденным.

В случае свободного бора, распространяющегося по покоящейся жидкости глубиной  $h_0$ , определяющую роль играет безразмерная скорость распространения переднего фронта бора (характерное число Фруда)  $c^0 = c/(gh_0)^{1/2}$ . Свободный бор существует только при  $c^0 > 1$ . В диапазоне  $1,0 < c^0 < 1,3$  свободный бор является гладким. Для этой формы бора используется термин “гладкий ондулярный бор”. Верхняя граница диапазона значений  $c^0$ , в котором он существует, близка к предельной скорости распространения уединенных волн [15]. В окрестности  $c^0 = 1,3$  начинается обрушение переднего фронта свободного бора, но ондуляции сохраняются вплоть до значения  $c^0 \simeq 1,7$ . В диапазоне  $1,7 < c^0 < 2,5$  ондуляции за обрушивающимся передним фронтом отсутствуют, а при  $c^0 > 2,5$  вновь появляются, но механизм их генерации иной [14].

В случае вынужденного бора, образующегося при разрушении плотины в бесконечно длинном канале, границы между областями существования различных форм бора, как и другие его характеристики, однозначно определяются параметром  $h_-^0$ . В случае канала ограниченной длины следует учитывать также влияние параметров  $l^0$  и  $x_0^0$ . Соответствующая количественная информация пока может быть получена только в эксперименте. В литературе такие данные отсутствуют. В настоящей работе в опытах, выполненных в узких диапазонах параметров  $h_-^0$ ,  $l^0$ ,  $x_0^0$ , обрушение переднего фронта бора начиналось в окрестности значения  $(h_-^0)_* = 1,8$ , а переход к форме бора без ондуляций — при  $(h_-^0)_{**} = 2,8$ .

**Методика эксперимента.** Опыты проводились в прямоугольном канале со стеклянными боковыми стенками высотой 0,23 м и горизонтальным стальным дном шириной 0,2 м

(см. рис. 1). Генерация бора осуществлялась путем быстрого (в течение 0,2 с) подъема вертикального щита. С помощью волномеров были получены экспериментальные данные о колебаниях глубины воды  $h(t)$  при различных значениях продольной координаты  $x_*$ . Время  $t$  отсчитывалось с момента начала распада разрыва. Отдельно взятый волномер не различал направления движения волн, поэтому направление, а также скорость перемещения переднего фронта бора определялись по сигналам двух волномеров, расстояние между которыми составляло  $\Delta x = 0,3$  м. Выполнялась также видеосъемка.

Разрешающая способность волномеров по амплитуде колебаний составляла приблизительно 0,02 см (погрешность не превышала 5 %). Амплитудно-частотные характеристики волномеров были почти постоянными в диапазоне частот от 0 до 30 Гц. На верхней границе этого диапазона амплитуда колебаний оказалась заниженной не более чем на 4 %. Верхнее пороговое значение частоты  $f_{\max}$  в спектрах изучаемых колебаний не превышало 3 Гц, поэтому волнометры регистрировали эти колебания без частотных искажений. При анализе сигналов волномеров с помощью компьютера осуществлялось их аналого-цифровое преобразование. Согласно теореме Котельникова для сохранения полной информации об исходном сигнале при его аналого-цифровом преобразовании необходимо задавать не менее двух дискретных значений аналогового сигнала на наименьший период колебаний  $T_{\min} = 1/f_{\max}$ . В опытах это условие выполнялось с запасом.

С помощью стандартной компьютерной программы ФФТ выполнялся спектральный анализ колебаний  $h(t)$  в заданном интервале времени  $\Delta T$ . Далее приводятся только модули комплексных спектров

$$A(f) = [(\operatorname{Re} F(h(t) - \bar{h}))^2 + (\operatorname{Im} F(h(t) - \bar{h}))^2]^{1/2},$$

где  $f$  — частота колебаний глубины, Гц;  $F$  — оператор комплексного преобразования Фурье;  $\bar{h}$  — среднее значение глубины в интервале времени  $\Delta T$ . Функции  $A(f)$ , далее называемые амплитудными спектрами, симметричны относительно оси  $f = 0$ . В данной работе приводятся только их значения при  $f \geq 0$ .

Наряду с исходными функциями  $h(t)$  анализировались сглаженные функции  $\tilde{h}(t)$  и разности  $h'(t) = h(t) - \tilde{h}(t)$ . Сглаживание осуществлялось с помощью функции `ksmooth` с гауссовым ядром в программном продукте MathCAD. Интервал сглаживания выбирался таким образом, чтобы в функции  $\tilde{h}(t)$  сохранялась информация о колебаниях, обусловленных влиянием наиболее длинных волн.

**Некоторые результаты опытов.** На рис. 2 приведены функции  $h(t)$ ,  $\tilde{h}(t)$  и  $h'(t)$  в случае прямой волны (волны до первого отражения от стенки), имеющей вид ондулярного бора с обрушивающимся передним фронтом. Глубины нормированы на величину  $h_+$ , время — на величину  $(l/g)^{1/2}$ .

По каналу распространяется цуг бегущих волн, периодически отражающихся от торцевых стенок канала (см. рис. 2), что подтверждается результатами видеосъемки. Сначала к волномеру приходит прямая волна, затем — волна, отразившаяся от ближней к волномеру стенки, затем — волна, отразившаяся от дальней стенки, и т. д. При отражении происходит заплеск воды на стенку и появляется значительная вертикальная компонента скорости, обуславливающая ондуляции. При каждом отражении число ондуляций увеличивается.

В рассматриваемом процессе имеется несколько характерных периодов колебаний  $T_i$  и соответствующих частот  $f_i = 1/T_i$ ,  $i = 1, 2, 3, \dots$ , значения которых зависят от заданных параметров и координаты  $x_*$ . Наибольший период  $T_1$  определяется временем пробега цугом волн удвоенной длины канала. Два других периода определяются временами пробега цугом волн расстояний, равных  $2x_*$  и  $2(l - x_*)$ . Остальные периоды и частоты обусловлены ондуляциями и суперпозицией набегающих и отраженных волн. В частности, в результате суперпозиции может иметь место явление, для которого используется термин “биения”.

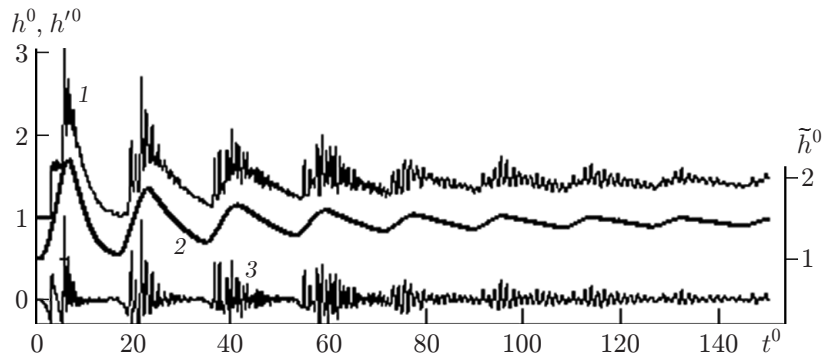


Рис. 2. Зависимости  $h^0(t)$  (1),  $\tilde{h}^0(t)$  (2),  $h'^0(t)$  (3) при многократном отражении прямой волны с обрушивающимся передним фронтом ( $h_- = 11,5$  см,  $h_+ = 4,0$  см,  $l = 5$  м,  $x_0 = 1,3$  м,  $x_* = 4,33$  м,  $h_\infty = 59,5$  см)

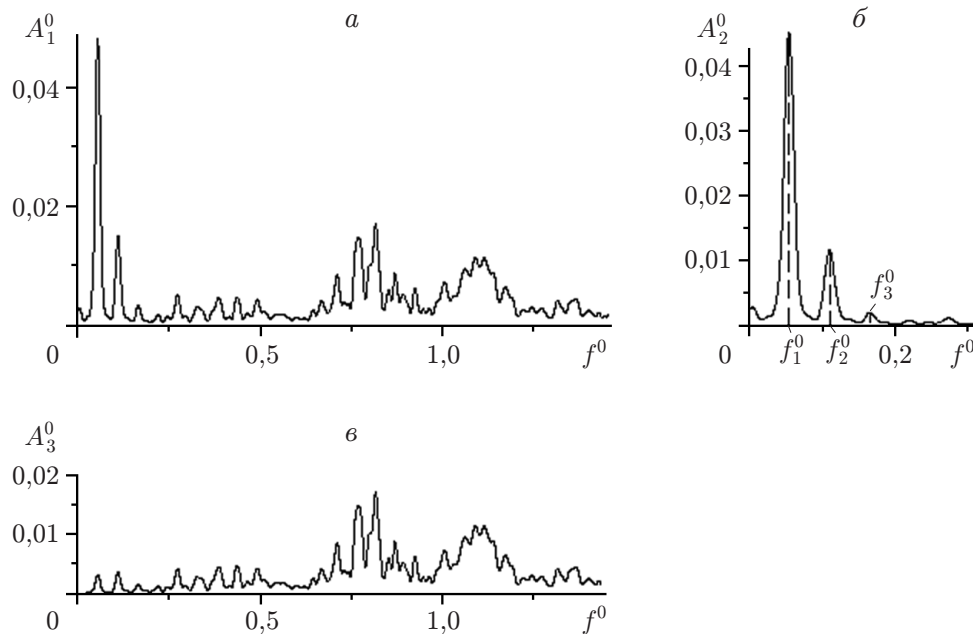


Рис. 3. Амплитудные спектры функций  $h^0(t)$  (а),  $\tilde{h}^0(t)$  (б),  $h'^0(t)$  (в), приведенных на рис. 2

Вследствие дисперсии и влияния вязкости жидкости характерные периоды колебаний медленно изменяются во времени. С течением времени уменьшается высота волн. На некотором начальном интервале времени уменьшение высоты волн обусловлено главным образом тем, что часть объема воды, переносимого цугом волн, расходуется на повышение средней глубины в канале до асимптотического значения  $h_\infty = h_+ + (h_- - h_+)x_0/l$ . Уменьшение высоты волны, а также существенное уменьшение амплитуды ондуляций происходят также вследствие потерь энергии, обусловленных влиянием вязкости и обрушения волн.

Спектральный анализ функций  $h(t)$ ,  $\tilde{h}(t)$  и  $h'(t)$  показал, что в их спектрах четко выделяются максимумы на частотах, соответствующих частотам сейшевых колебаний. На рис. 3 приведены амплитудные спектры  $A_1^0$ ,  $A_2^0$ ,  $A_3^0$ , соответствующие функциям  $h(t)$ ,  $\tilde{h}(t)$ ,  $h'(t)$ . По оси абсцисс отложена безразмерная частота  $f^0 = f/(l/g)^{1/2}$ , по оси ординат —

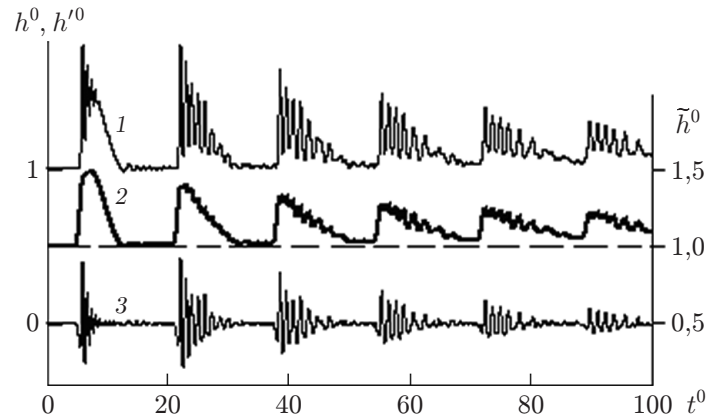


Рис. 4. Зависимости  $h^0(t)$  (1),  $\tilde{h}^0(t)$  (2),  $h'^0(t)$  (3) при многократном отражении прямой волны с гладким передним фронтом ( $h_- = 9,0$  см,  $h_+ = 6,2$  см,  $l = 5$  м,  $x_0 = 1,3$  м,  $x_* = 4,98$  м,  $h_\infty = 7,0$  см)

безразмерные модули спектров  $A^0 = (A/h_+)(g/l)^{1/2}$ . Следует отметить, что на рис. 3,б масштаб величины  $f^0$  в 2,2 раза больше, чем на рис. 3,а,в.

Если при расчетах частот сейшевых колебаний  $f_n^0$  и при анализе спектров используется одна и та же характерная глубина  $h_0 = \tilde{h} = h_\infty$ , то в рассматриваемом примере 18 первых частот  $f_i^0$ , которым соответствуют максимумы в амплитудном спектре  $A_1^0$  (см. рис. 3,а), достаточно хорошо согласуются с соответствующими частотами  $f_n^0$  сейшевых колебаний (различие не превышает 5 %). В спектре  $A_2^0$  сглаженной функции  $\tilde{h}(t)$  (см. рис. 3,б) остаются только три выделенные частоты, которые согласуются с тремя первыми частотами сейшевых колебаний (различие не превышает 3,7 %). Спектр  $A_3^0$  (см. рис. 3,в), представляющий собой разность спектров  $A_1^0$  и  $A_2^0$ , содержит информацию о высокочастотных колебаниях. В диапазоне частот  $f^0 > f_{18}^0$  характер спектров  $A_1^0$  и  $A_3^0$  определяется хаотическими флуктуациями, порожденными заплеском и обрушением волн. В окрестности значения  $f^0 = 0,1f_1^0$  в спектрах  $A_1^0$  и  $A_2^0$  имеется небольшой максимум, обусловленный биениями. В некоторых опытах при других сочетаниях заданных параметров биения были выражены более четко, чем в рассматриваемом примере.

На рис. 4 приведены функции  $h^0$ ,  $\tilde{h}^0$  и  $h'^0$  в случае гладкой прямой волны, на рис. 5 — амплитудный спектр  $A_1^0$  функции  $h^0$ . Корреляция между частотами  $f_i^0$  и  $f_n^0$  для этого случая показана на рис. 6. При идеальной корреляции точки должны располагаться на биссектрисе координатного угла, показанной на рис. 6 прямой линией. Для первых 11 частот корреляция почти идеальная.

На рис. 7 приведены картины волн в окрестности левой стенки канала при  $l = 4,5$  м,  $x_0 = 0,69$  м,  $h_+ = 9$  см. Прямая волна на рис. 7,а имеет вид ондулярного бора, прямая волна на рис. 7,б — вид бора без ондуляций. Заплеск на стенку и начальная стадия процесса первого отражения волны типа ондулярного бора с обрушивающимся передним фронтом показаны на рис. 7,в,г. На рис. 7,д,з показаны некоторые стадии толчеи волн в окрестности левой торцевой стенки канала. Аналогичные картины получены в опытах [16, 17] со стоячими волнами. На рис. 7,е-з представлен процесс заострения гребня, характерный для стоячих волн предельной амплитуды [18].

На рис. 8,а приведены экспериментальные данные о наибольших глубинах за передним фронтом прямой волны вблизи стенки  $h_{\max 0}$ , на рис. 8,б — о глубинах под первым гребнем первой отраженной волны  $h_{\max 1}$ . Безразмерные величины  $\eta_{\max 0}^0 = (h_{\max 0} - h_+)/h_+$  и  $\eta_{\max 1}^0 = (h_{\max 1} - h_+)/h_+$  характеризуют повышение глубины относительно начальной

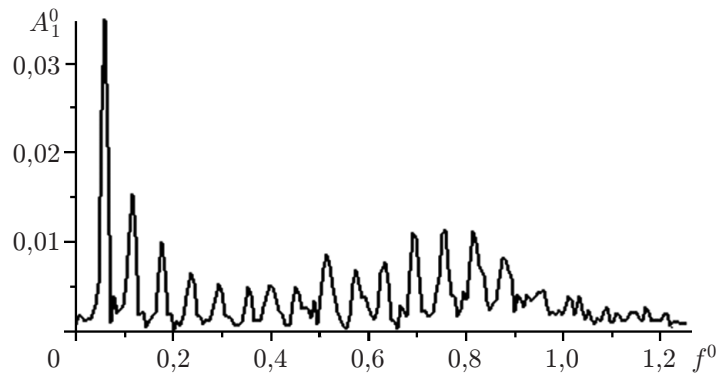


Рис. 5. Амплитудный спектр функции  $h^0(t)$ , приведенной на рис. 4

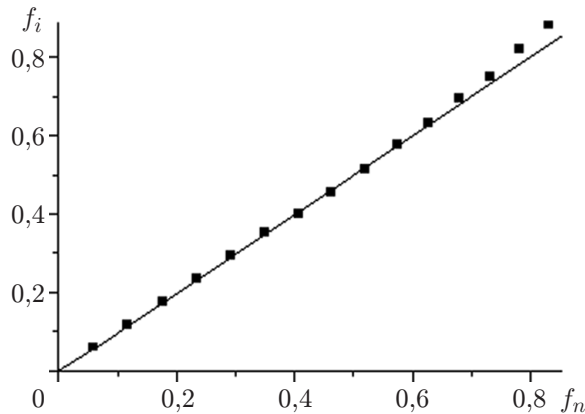


Рис. 6. Корреляция между частотами  $f_n^0$  и  $f_i^0$  (значения параметров те же, что на рис. 4)

глубины нижнего бьефа. Вертикальные штриховые линии соответствуют значениям определенных выше начальных глубин  $(h_-^0)_*$  и  $(h_-^0)_{**}$ , при которых изменяется форма бора. Некоторая информация об изменении глубины при втором и следующих отражениях волны от стенки содержится на рис. 2, 4.

На рис. 8, а для сравнения приведены результаты расчета повышения глубины  $\eta_{\max 0}^0$  за прямой прерывной волной с использованием теории [2, 3]. Теория [2, 3] позволяет также выполнить расчет глубины за отраженной волной  $\eta_r^0$  в том случае, когда длина верхнего бьефа бесконечная, а длина нижнего бьефа конечная. Результаты расчета  $\eta_{\max 1}^0$  представлены на рис. 8, б. При сравнении расчетных и экспериментальных данных следует учитывать, что согласно теории [2, 3] длина верхнего бьефа бесконечна, вследствие чего бор является вынужденным. Кроме того, теория [2, 3] не описывает ондуляции, в то время как экспериментальные данные получены с учетом ондуляций. Согласно теории [2, 3] глубина за отраженной волной приблизительно равна (немного меньше) начальной глубине верхнего бьефа:  $\eta_{\max 1}^0 \simeq h_-^0 - 1$ . В проведенных опытах  $\eta_{\max 1}^0 = (1,1 \div 1,3)(h_-^0 - 1)$ , т. е. глубина под первым гребнем первой отраженной волны превышает начальную глубину верхнего бьефа.

**Обсуждение результатов.** В соответствии с определением, приведенным в [13], сейша является стоячей волной с неизменным положением узлов и пучностей на оси  $x$ . В выполненных опытах волны были бегущими. Тем не менее в канале ограниченной длины при многократном отражении бегущих волн колебания уровня свободной поверхности с частотами  $f_n$  были наиболее существенными. Эта закономерность подтверждена

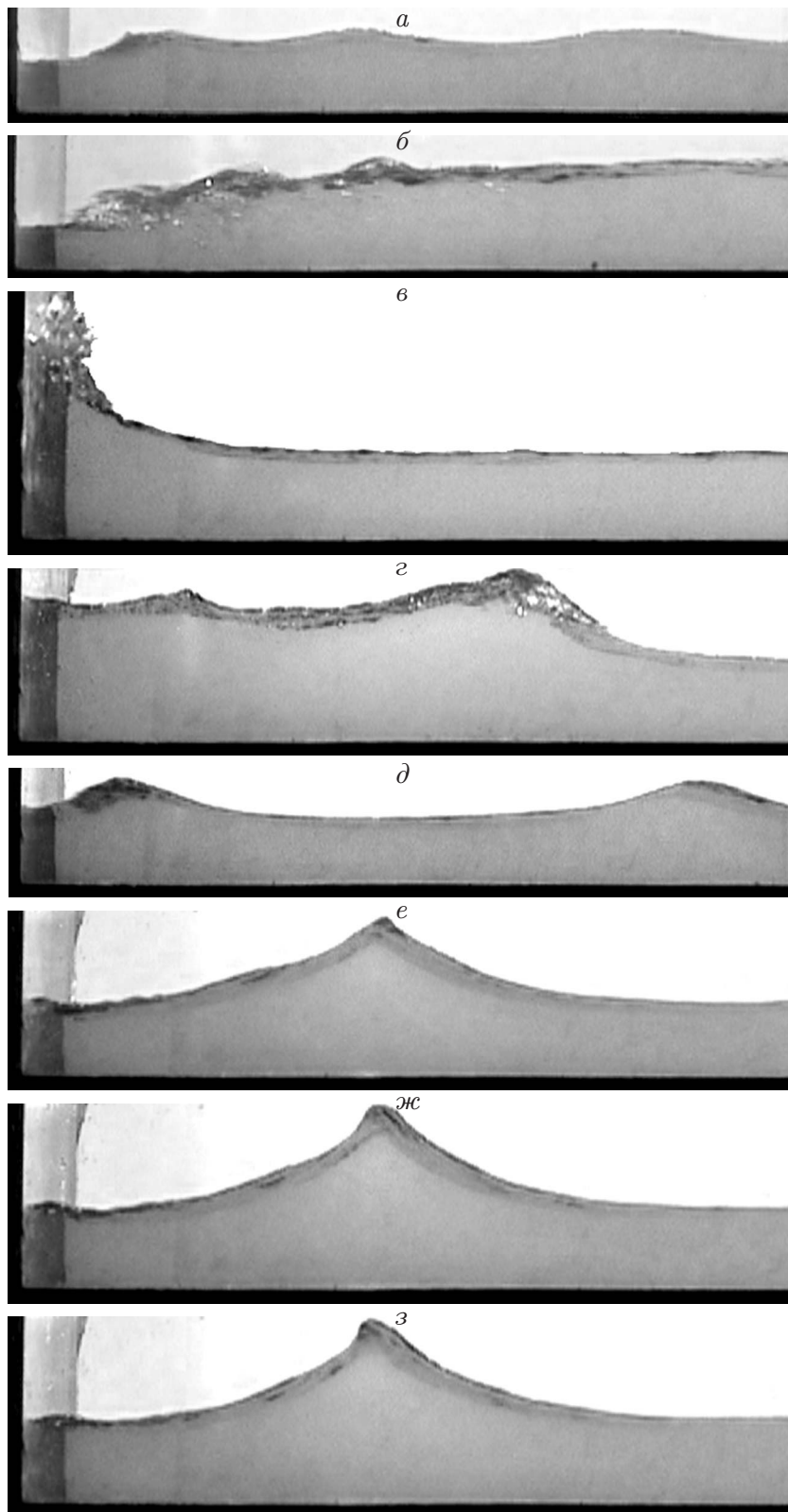


Рис. 7. Прямые и отраженные волны в окрестности левой стенки канала:  
*a* —  $h_- = 13$  см,  $t = 3,11$  с; *б* —  $h_- = 22,6$  см,  $t = 2,71$  с; *в* —  $h_- = 18,5$  см,  $t = 3,0$  с; *г* —  
 $h_- = 18,5$  см,  $t = 3,68$  с; *д* —  $h_- = 21,2$  см,  $t = 24,77$  с; *е* —  $h_- = 22,6$  см,  $t = 24,64$  с;  
*ж* —  $h_- = 22,6$  см,  $t = 24,68$  с; *з* —  $h_- = 22,6$  см,  $t = 24,72$  с

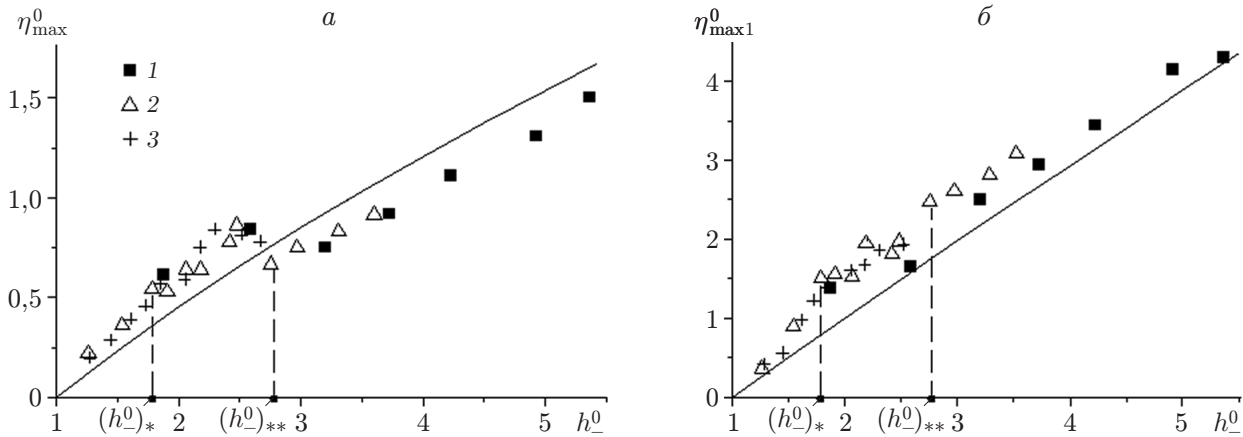


Рис. 8. Изменение глубины за набегающей (а) и первой отраженной (б) волнами ( $l = 5$  м,  $x_0 = 1,3$  м):

точки — экспериментальные данные (1 —  $h_+ = 4$  см, 2 —  $h_+ = 6,5$  см, 3 —  $h_+ = 9$  см);  
линия — результаты расчета по теории [2, 3]

в 15 опытах, проведенных при различных сочетаниях заданных параметров в диапазонах  $4 \text{ см} \leq h_+ \leq 120 \text{ см}$ ,  $1,9 \leq h_0^0 \leq 5,5$ ,  $40 \leq l^0 \leq 125$ ,  $11 \leq x_0^0 \leq 20$ ,  $0 \leq x_*^0 \leq 1$ . При этом прямая волна была как обрушивающейся, так и гладкой. От значений заданных параметров зависят число выделяемых частот, значения соответствующих им амплитуд и то, какие именно моды сейшевых колебаний усиливались в процессе эволюции бора. Например, в случае, когда волномер располагался в середине канала, усиливались только четные моды.

Рассматриваемая закономерность представляет интерес при анализе причин возникновения сейшевых колебаний в натуральных условиях. Как правило, в натуральных исследованиях можно получить информацию только о частотах  $f_i$  в отдельных точках водоема. Совпадение этих частот с частотами  $f_n$  еще не означает, что они обусловлены наличием стоячих волн. Для подтверждения этого нужна дополнительная информация. Например, может использоваться тот факт, что в случае стоячих волн колебания имеют строго синусоидальный характер при любом значении координаты  $x$ . В узлах стоячих волн амплитуды колебаний вертикальной компоненты скорости и уровня свободной поверхности равны нулю, а амплитуда колебаний горизонтальной компоненты скорости имеет максимальное значение. С практической точки зрения существенно то, что обсуждаемая закономерность позволяет учитывать большее количество возможных причин возникновения сейшевых колебаний в водоемах.

Аналогичное замечание относится к явлению, характеризуемому термином “толчая волн”. В узком смысле толчая волн — это стоячие волны, образующиеся при суперпозиции набегающих на стенку и отраженных от нее синусоидальных волн. Однако на практике этот термин используется и в случае суперпозиции более сложных волн, например бегущих ветровых волн и волн зыби [9, 10].

С течением времени свободный бор распадается на уединенные волны [15]. В случае вынужденного бора, образующегося при разрушении плотины в бесконечно длинном канале, глубина воды за его передним фронтом асимптотически выходит на постоянное значение [5]. При распаде разрыва в канале ограниченной длины графики сглаженных функций  $h(t)$  имеют периодически повторяющуюся треугольную форму (см. рис. 2, 4), которая сохраняется до момента полного вырождения волн. Это обусловлено тем, что сначала волны были вынужденными, а затем стали свободными.



Мгновенные картины волн, показанные на рис. 7,  $\partial, \varepsilon$ , аналогичны картинам стоячих волн, приведенным в [16, 17]. Однако имеется существенное различие. Мгновенные картины строго стоячих волн периодически повторяются в одной и той же области пространства, причем соответствующий период определяется только параметрами  $l$  и  $h_0$ . Картины волн, приведенные на рис. 7,  $\partial, \varepsilon$ , существуют лишь в течение малого промежутка времени. Эти картины также повторяются, но с изменениями, зависящими от общей длины цуга бегущих волн, их дисперсии и диссипации энергии (см. рис. 2, 4). В определенных условиях при колебаниях глубины  $h(t)$  имеют место промежутки времени, когда она практически не изменяется.

Экспериментальные точки на рис. 8 удовлетворительно группируются вблизи одних и тех же кривых. На первый взгляд это свидетельствует об универсальности функций  $\eta_{\max}^0(h_-^0)$  и  $\eta_{\max 1}^0(h_-^0)$  по параметрам  $l^0$  и  $x_0^0$ . Однако необходимо учитывать, что экспериментальные данные получены в узком диапазоне заданных параметров. В более широком диапазоне следует ожидать существенного различия в поведении указанных функций. Общим будет только немонотонное поведение функции  $\eta_{\max}^0(h_-^0)$  в окрестности  $h_-^0 = (h_-^0)_{**}$  (см. рис. 8,  $a$ ), где бор с ондуляциями переходит в бор без ондуляций.

При распаде разрыва в канале ограниченной длины амплитуда ондуляций сравнима со средней высотой волн, поэтому в расчетах желательно использовать более точные математические модели, чем первое приближение теории мелкой воды. Расчеты ондулярного бора на основе более высоких приближений теории мелкой воды, описывающих ондуляции, проведены в работах [19–21]. Расчет волны, образующейся при разрушении плотины в случае первоначально сухого дна в нижнем бьефе ( $h_+ = 0$ ), на основе уравнений Эйлера и Навье — Стокса выполнен в [22].

**Заключение.** Экспериментально исследована эволюция волн типа бора, образующихся при распаде начального разрыва глубины воды в прямоугольном канале ограниченной длины. Показано, что при суперпозиции встречных бегущих волн в спектре колебаний глубины во времени в фиксированных точках пространства выделяются частоты, совпадающие с частотами сейшевых колебаний. Приведены данные о структуре и высоте бора после его многократного отражения от вертикальных торцевых стенок канала. Установлено, что при каждом отражении увеличивается число ондуляций, вследствие которых глубина под первым гребнем отраженной волны в  $1,1 \div 1,3$  раза превышает начальную глубину верхнего бьефа. Результаты видеосъемки показывают, что при суперпозиции встречных бегущих волн профиль свободной поверхности имеет вид, характерный для стоячих волн, но в течение ограниченного интервала времени и на ограниченном участке длины канала.

## ЛИТЕРАТУРА

1. Ландау Л. Д. Теоретическая физика. Т. 6. Гидродинамика / Л. Д. Ландау, Е. М. Лифшиц. М.: Наука, 1988.
2. Христианович С. А. Неустановившееся движение в каналах и реках. Некоторые новые вопросы механики сплошной среды / С. А. Христианович, С. Г. Михлин, Б. Б. Девисон. М.; Л.: Из-во АН СССР, 1938.
3. Стокер Дж. Дж. Волны на воде. Математическая теория и приложения. М.: Изд-во иностр. лит., 1959.
4. Dressler R. F. Comparison of theories and experiments for the hydraulic dam-break wave // Intern. Assoc. Sci. Hydrology. 1954. V. 3, N 38. P. 319–328.
5. Букреев В. И., Гусев А. В., Малышева А. А., Малышева И. А. Экспериментальная проверка газогидравлической аналогии на примере задачи о разрушении плотины // Изв. РАН. Механика жидкости и газа. 2004. № 5. С. 143–152.

6. **Peregrine D. H.** Water wave impact on walls // *Ann. Rev. Fluid Mech.* 2003. V. 35. P. 23–43.
7. **Букреев В. И.** Заплеск воды на вертикальную стенку при распаде разрыва над уступом // *ПМТФ.* 2003. Т. 44, № 1. С. 71–76.
8. **Ibrahim R. A.** *Liquid sloshing dynamics: Theory and applications.* Cambridge: Cambridge Univ. Press, 2005.
9. **Holthuijsen L. H.** *Waves in oceanic and coastal waters.* Cambridge: Cambridge Univ. Press, 2007.
10. **Табулевиц В. Н., Пономарев Е. А., Сорокин А. Г., Дреннова Н. Н.** Стоячие океанские волны, микросеймы и инфразвук // *Изв. РАН. Физика атмосферы и океана.* 2001. Т. 37, № 2. С. 233–245.
11. **Судольский А. С.** *Динамические явления в водоемах.* Л.: Гидрометеиздат, 1981.
12. **Imberger J., Hamblin P. F.** Dynamics of lakes, reservoirs, and cooling ponds // *Ann. Rev. Fluid Mech.* 1982. V. 14. P. 153–187.
13. **Кочин Н. Е.** Теоретическая гидромеханика / Н. Е. Кочин, И. А. Кибель, Н. В. Розе. М.: Физматгиз, 1963. Ч. 1.
14. **Chow Ven Te.** *Open-channel hydraulics.* N. Y. etc.: McGraw Hill, 1959.
15. **Букреев В. И.** О корреляции между теоретическими и экспериментальными уединенными волнами // *ПМТФ.* 1999. Т. 40, № 3. С. 44–52.
16. **Taylor G. I.** Standing waves on a contracting or expanding current // *J. Fluid Mech.* 1962. V. 13, pt 2. P. 182–192.
17. **Fultz D.** An experimental note on finite-amplitude standing gravity waves // *J. Fluid Mech.* 1962. V. 13, pt 2. P. 193–212.
18. **Iooss G., Plotnikov P. I., Toland J. F.** Standing waves on an infinitely deep perfect fluid under gravity // *Arch. Rational Mech. Anal.* 2005. V. 177, N 3. P. 367–478.
19. **Hammack J. L., Segur H.** The Korteweg — de Vries equation and water waves. Pt 2. Comparison with experiments // *J. Fluid Mech.* 1974. V. 65, pt 2. P. 289–314.
20. **Баракнин В. Б., Краснощекова Т. В., Потапов И. Н.** Отражение волны прорыва от вертикальной стенки. Численное моделирование и эксперимент // *ПМТФ.* 2001. Т. 42, № 2. С. 96–102.
21. **Ляпидевский В. Ю.** Уравнения мелкой воды с дисперсией. Гиперболическая модель // *ПМТФ.* 1998. Т. 39, № 2. С. 40–46.
22. **Colicchio G., Colagrossi A., Greco M., Landrini M.** Free-surface flow after a dam break: a comparative study // *Ship Technol. Res.* 2002. V. 49, N 3. P. 95–104.

*Поступила в редакцию 30/IX 2010 г.*

---